

## 5.7 ASTE A SEZIONE CIRCOLARE

Nelle figure seguenti sono riportati i casi, importantissimi per le applicazioni, di aste a sezione circolare con gola a sezione semicircolare o con spallamento, rispettivamente soggette a sforzo normale (figura 22), momento flettente (figura 23) e momento torcente (figura 24).

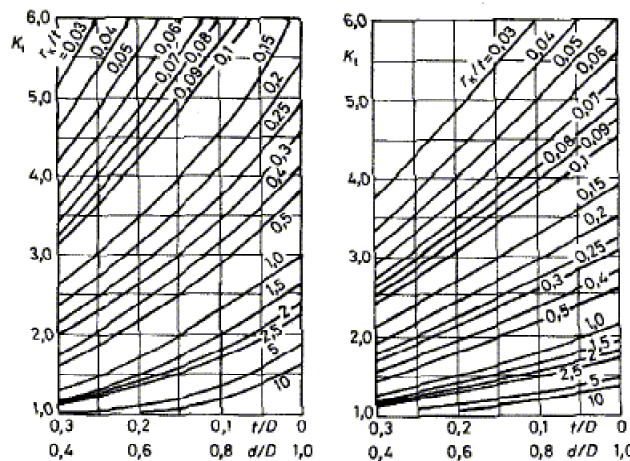
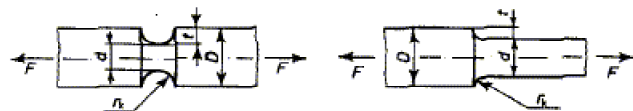


Figura 22: Coefficiente teorico di intaglio  $K_t$  per un'asta rettilinea a sezione circolare soggetta a sforzo normale

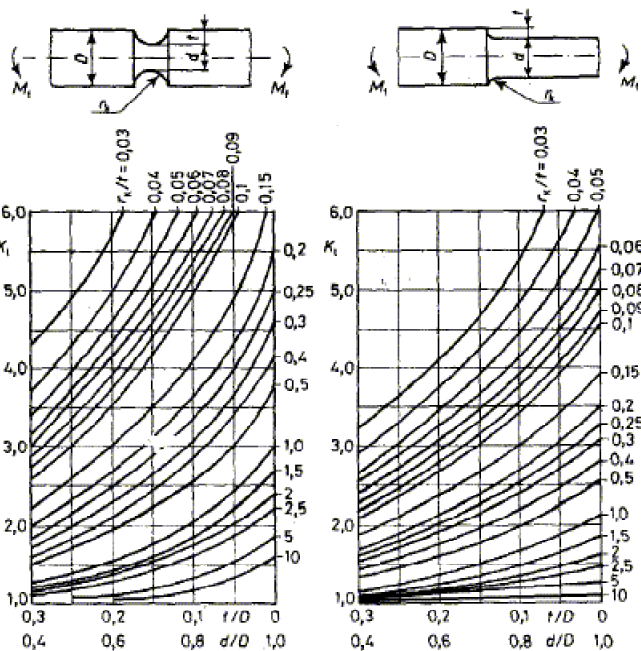


Figura 23: Coefficiente teorico di intaglio  $K_t$  per un'asta rettilinea a sezione circolare soggetta a momento flettente

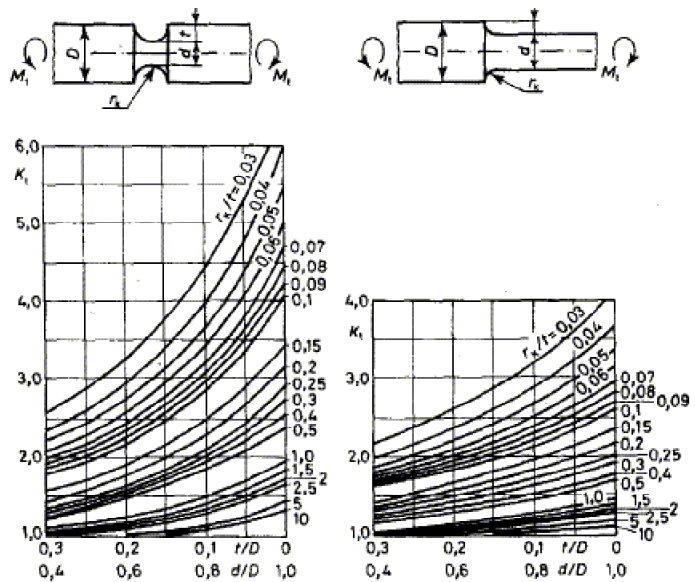


Figura 24: Coefficiente teorico di intaglio  $K_t$  per un'asta rettilinea a sezione circolare soggetta a momento torcente